



УДК 548.737+547.963.32

РЕНТГЕНОГРАФИЧЕСКОЕ ИССЛЕДОВАНИЕ
АНГИДРОНУКЛЕОЗИДОВII *. МОЛЕКУЛЯРНАЯ И КРИСТАЛЛИЧЕСКАЯ СТРУКТУРА
8,1'-АНГИДРО-8-ГИДРОКСИ-9-(2-β-D-
ПСИКОФУРАНОЗИЛ)АДЕНИНА

Гурская Г. В., Джавадова Г. М., Соболев А. Н. *,
Черникова Н. Ю. **, Завгородний С. Г. ***, Флорентьев В. Л.,
Готтих Б. П.

Институт молекулярной биологии Академии наук СССР, Москва;

* Физико-химический институт им. Л. Я. Карпова, Москва;

** Московский государственный университет им. М. В. Ломоносова;

*** Всесоюзный научно-исследовательский институт биотехнологии
Министерства медицинской и микробиологической промышленности,
Москва

Представлена молекулярная и кристаллическая структура 8,1'-ангидро-8-гидрокси-9-(2-β-D-психофуранозил)аденина (8,1'-O-aAdo^p), характеризующегося закрепленной *син*-конформацией относительно N-гликозидной связи. Пространственная группа кристаллов — P1, параметры элементарной ячейки: $a=6,941(2)$, $b=9,764(1)$, $c=14,341(4)$ Å, $\alpha=110,08(1)$, $\beta=97,92(3)$, $\gamma=87,02(2)^\circ$; $Z=2$ (8,1'-O-aAdo^p·6H₂O). Кристаллы сильно гидратированы. В элементарной ячейке присутствуют две кристаллографически независимые молекулы (1 и 2) ангидронуклеозида и 12 молекул воды. Структура решена прямым методом и уточнена полноматричным методом наименьших квадратов до $R=5,0\%$. Конформационные параметры двух молекул близки. Обе молекулы имеют *син*-конформацию относительно N-гликозидной связи и *транс*-конформацию относительно экзоциклической связи C4'-C5'. Конформация ангидроцикла молекулы 1 — твист (${}^{C1'}T_{C1'}$), конформация фуранозного фрагмента — слабый твист (2T_3). Аналогичные параметры молекулы 2 — конверт ($E_{C1'}$) и почти чистый твист (2T). Особенностью кристаллической структуры является присутствие в ней операции сверхсимметрии, связывающей нетривиальным преобразованием $2q$ молекулы 1 и 2 и восемь молекул воды. Две пары молекул воды этой сверхсимметрии не подчиняются.

Настоящее исследование продолжает работы по изучению строения молекул ангидронуклеозидов, характеризующихся закрепленной *син*-конформацией относительно N-гликозидной связи и сохранением всех функциональных групп, присущих природным нуклеозидам.

В предыдущих сообщениях [1, 2] приведены результаты рентгеноструктурного анализа представителя пиримидинового ряда *син*-ангидронуклеозидов — 6,1'-ангидро-6-гидрокси-1-(2-β-D-психофуранозил)цитозина (6,1'-O-aCyd^p). Данная статья посвящается структуре представителя пуриновых соединений — 8,1'-ангидро-8-гидрокси-9-(2-β-D-психофуранозил)аденина (8,1'-O-aAdo^p). Несмотря на то что кристаллизация обоих нуклеозидов проводилась при одинаковых условиях из водного раствора, кристаллы пиримидинового ангидронуклеозида оказались безводными, а кристаллы пуринового — сильно гидратированными. В элементарной ячейке 8,1'-O-aAdo^p присутствуют две кристаллографически независимые молекулы (1 и 2) ангидронуклеозида и 12 молекул воды. Столь сильная гидратация молекул 8,1'-O-aAdo^p позволяет предположить, что полученная структурная информация о строении молекул ангидронуклеозида в кристалле может быть распространена и на строение молекул в водном растворе.

* Сообщение I см. [1].

Относительные координаты атомов ($\times 10^3$ для C, N, O; $\times 10^3$ для H) в структуре 8,1'-О-адор
В скобках приведены стандартные отклонения

Молекула 1				Молекула 2				Молекулы воды					
Атом	x/e	y/b	z/c	Атом	x/a	y/b	z/c	Атом	Номер молекулы	Атом	x/a	y/b	z/c
N1	4377(4)	8354(4)	7326(2)	N1	5767(5)	7373(3)	5451(2)	O	1	O	1956(5)	4754(4)	136(2)
C2	1236(5)	7109(4)	6536(3)	C2	6235(3)	6917(4)	6226(3)	C2	2	O	3306(5)	3830(3)	6928(3)
N3	836(4)	6897(3)	5586(2)	N3	6564(4)	7680(3)	7190(2)	O	3	O	1152(5)	2400(4)	2658(2)
C4	575(5)	8169(4)	5428(2)	C4	6314(4)	9115(4)	7349(2)	O	4	O	3608(6)	8195(4)	1601(3)
C5	698(5)	9538(4)	6147(2)	C5	5804(4)	9747(4)	6623(2)	O	5	O	5502(4)	6144(3)	116(2)
C6	1091(4)	9618(4)	7133(2)	C6	5519(5)	8833(4)	5629(2)	O	6	O	6434(4)	5536(3)	8154(2)
N6	1264(0)	10910(0)	7924(0)	N6	5057(5)	9305(4)	4855(2)	O	7	O	4358(5)	3800(3)	4695(3)
N7	355(4)	10645(3)	5708(2)	N7	5684(5)	11285(3)	7052(2)	O	8	O	8403(5)	3448(3)	5817(3)
C8	39(6)	9902(4)	4783(3)	C8	6123(5)	11481(4)	7983(3)	O	9	O	186(5)	3977(4)	8141(2)
N9	141(5)	8421(3)	4531(2)	N9	6534(4)	10261(4)	8237(2)	O	10	O	5002(6)	923(4)	2576(2)
O1''	-370(5)	10308(3)	3977(2)	O1''	6287(5)	12697(3)	8783(2)	O	11	O	4977(5)	2205(4)	4655(3)
C1''	-385(7)	8991(5)	3102(3)	C1''	6775(6)	12266(4)	9665(3)	O	12	O	3003(7)	2937(4)	1214(3)
C1'	-484(5)	7682(4)	3479(3)	C1'	7179(5)	10608(4)	9299(2)	H1	1	H1	302	513	15
C2'	636(5)	6289(4)	2988(2)	C2'	6240(5)	9672(4)	9779(2)	H2	1	H2	212	400	20
O2'	2401(4)	6557(3)	2699(2)	O2'	4429(4)	10219(3)	10066(2)	H1	2	H1	327	278	661
C3'	-843(6)	5436(4)	2139(3)	C3'	7783(5)	9668(4)	10640(2)	H2	2	H2	290	406	757
O3'	-969(4)	5970(4)	1323(3)	O3'	7780(4)	11014(3)	11449(2)	H1	3	H1	25	240	220
C4'	-2729(5)	5777(4)	2603(3)	C4'	9648(5)	9554(4)	10165(2)	H2	3	H2	89	300	320
O4'	-2436(4)	7220(3)	3352(2)	O4'	9225(4)	10334(3)	9453(2)	H1	4	H1	338	767	196
C5'	-3243(5)	4743(4)	3107(3)	C5'	10297(5)	8030(4)	9613(3)	H2	4	H2	453	767	120
O5'	-4936(5)	5237(3)	3586(2)	O5'	11996(3)	8022(3)	9174(2)	H1	5	H1	687	613	19
H2	136	617	678	H2	642	584	603	H2	5	H2	509	627	-51
H6,1	144	1088	862	H6,1	512	861	415	H1	6	H1	676	616	787
H6,2	80	1173	782	H6,2	473	1036	496	H2	6	H2	615	467	777
H1',1	-157	899	263	H1',1	546	1250	1004	H1	7	H1	145	471	496
H1'',2	91	875	270	H1'',2	798	1282	1005	H2	7	H2	36	357	501
H2'	110	578	350	H2'	602	860	927	H1	8	H1	712	327	552
H02'	351	637	311	H02'	357	953	988	H2	8	H2	898	267	582
H3'	-57	442	193	H3'	761	874	1077	H1	9	H1	75	403	883
H03'	-5	563	94	H03'	700	1095	1183	H2	9	H2	-108	467	810
H4'	-381	586	210	H4'	1068	1004	1075	H1	10	H1	415	152	275
H5,1	-348	370	256	H5,1	1056	747	1004	H2	10	H2	442	0	222
H5',2	-201	469	367	H5',2	917	742	902	H1	11	H1	513	206	390
H05'	-464	610	400	H05'	1165	S27	854	H2	11	H2	364	261	477
								H1	12	H1	373	213	93
								H2	12	H2	287	301	181

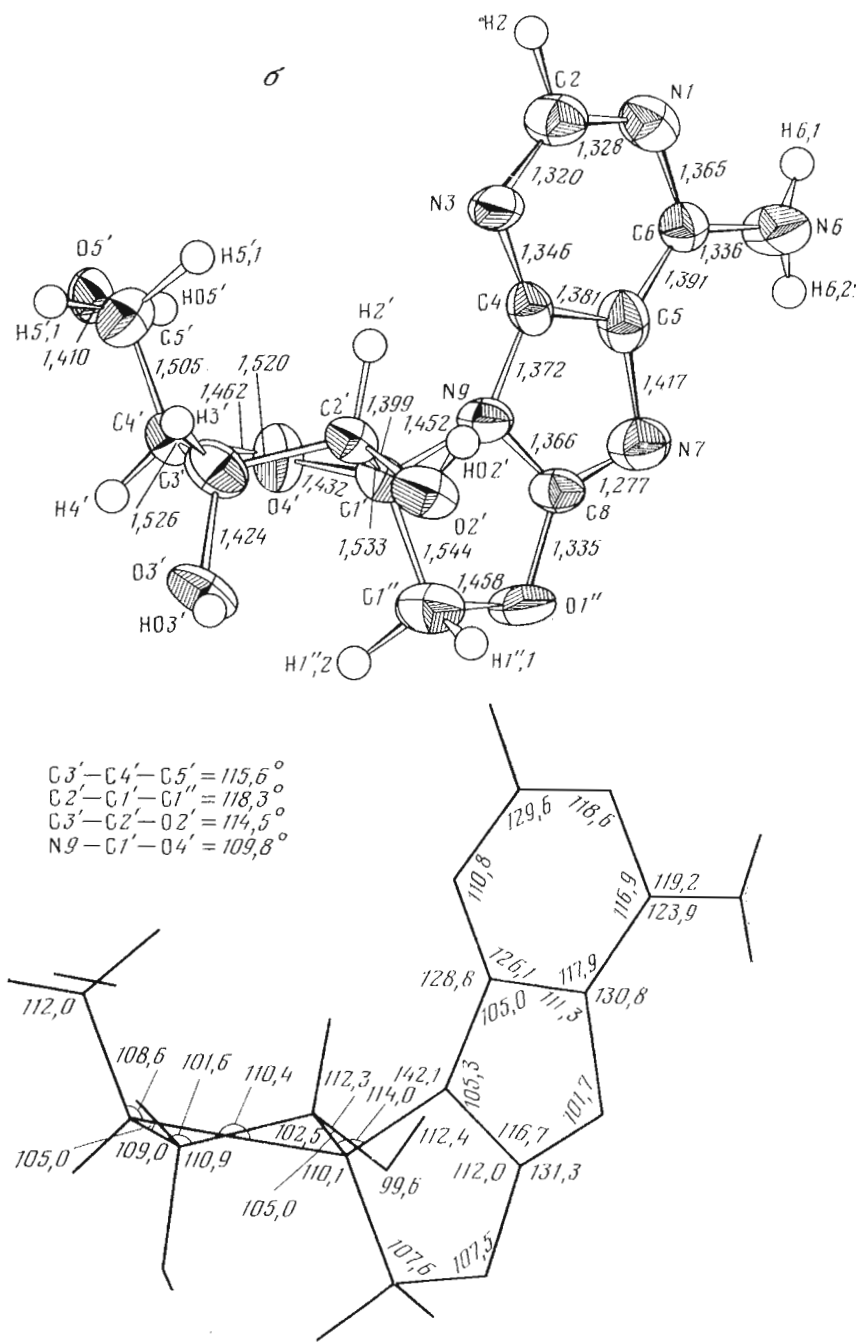


Рис. 1. Строение двух кристаллографически независимых молекул 8,1'-O-aAdoP. Цифрами обозначены длины связей (Å) и валентные углы (град)

(1,273 Å) несколько меньше значения нижней границы (1,292 Å) для аналогичных связей, а среднее значение угла N7-C8-N9 (116,7°) на 1° больше статистической верхней границы для этого типа углов (115,7°) [3].

Если же сравнить геометрические характеристики молекул 8,1'-O-aAdoP и природного аденозина [4], то видно, что образование дополнительного оксазолидинового цикла ангидронуклеозида путем «сплавления» атомов O1'' оксиметильной группы с атомами C8 аденинового основания сопровождается некоторым искажением длин связей N7-C8, N7-C5 и размеров валентных углов N7-C8-N9, C8-N9-C1' и C4-N9-C1'. В молекулах 8,1'-O-aAdoP связи N7-C5 удлинены более чем на 60 по

Длины С—О-связей и размеры валентных углов в пятичленных ангидроциклах N—C¹—C²—O—C³

Используемая нумерация атомов действительна только для данной таблицы

Соединение	Длины связей, Å		Валентные углы, град					Литература
			N—C ¹	C ¹ —C ²	C ² —O—C ³	O—C ¹	C ¹ —N—C ¹	
	C ² —O	O—C ³						
8,1'-О-аАдо ^p (молекулы 1 и 2)	1,455	1,337	98,8	106,6	107,1	111,9	112,1	
	1,458	1,335	99,6	107,6	107,5	112,0	112,4	
8,2'-Ангидро-8-гидрокси-9-(β-D-арабинофуранозил) адепин 6,1'-О-аСуд ^p	1,462	1,345	99,7	107,0	107,2	112,1	113,2	[5]
2,2'-Ангидро-1-(α-D-ксилофуранозил) урацил	1,465	1,334	100,5	107,5	107,6	112,3	111,5	[1, 2]
	1,466	1,328	100,6	105,6	109,3	111,8	112,4	
2,2'-Ангидро-1-(β-D-арабинофуранозил) урацил (молекулы 1 и 2)	1,461	1,342	100,6	106,0	108,9	111,9	112,3	[6]
	1,463	1,347	100,8	105,6	108,7	111,2	112,1	
То же	1,462	1,337	100,6	105,8	109,3	111,9	112,1	[7]
	1,460	1,333	100,7	105,2	109,4	110,9	112,1	
6,2'-Ангидро-1-(β-D-арабинофуранозил)-6-гидроксицитозин	1,458	1,339	101,9	104,4	109,3	111,4	111,9	[10]
2,2'-Ангидро-1-(β-D-арабинофуранозил)-6-гидрокси-5-диметилсульфоницитозин	1,469	1,327	100,3	106,2	108,6	112,5	111,6	[9]
2,2'-Ангидро-6-гидрокси-1-(3,5-ди-О-ацетил-β-D-арабинофуранозил)-5-хлорцитозин	1,451	1,329	99,5	105,9	110,8	110,8	112,8	[9]

сравнению с природным аденозином, а связи N7—C8 на столько же укорочены. Углы N7—C8—N9 увеличены примерно на 6°. Наиболее существенно искажению подверглись углы C4—N9—C1' и C8—N9—C1' — первые увеличены на 17,6°, а вторые уменьшены на 17,8°. В результате в пятичленном ангидроцикле N9—C1'—C1''—O1''—C8 четыре валентных угла оказались приближенными к тетраэдрическим, а пятый угол — к 100°. Аналогичная ситуация имеет место в структуре 6,1'-О-аСуд^p [1, 2], а также в ряде других структур [5—10] (табл. 2), в которых пятичленный ангидроцикл типа N—C—C—O—C образован другими атомами основания и углеводного остатка. Кроме того, следует обратить внимание еще на одну закономерность в строении таких ангидроциклов — существенное укорочение С—О-связи, примыкающей к основанию, и удлинение второй С—О-связи этого цикла по сравнению с величиной обычной одинарной С—О-связи (1,426 Å) [11].

Наличие ангидроцикла в молекулах 8,1'-О-аАдо^p мало влияет на строение углеводного остатка нуклеозида. Длины связей и величины валентных углов в фуранозных остатках в пределах σ—3σ совпадают с аналогичными величинами в молекулах аденозина [4]. Однако экзоциклический угол N9—C1'—C2' в ангидронуклеозиде увеличен примерно на 10° по сравнению с природным соединением. Наблюдаемые различия в экзоциклических углах, прилегающих к оксигруппам, могут быть отнесены на счет действующих систем водородных связей в кристаллических структурах.

Переходя к анализу конформационных свойств молекул 1 и 2 8,1'-О-аАдо^p, прежде всего отметим, что для обеих молекул характерны близкие, но не полностью совпадающие конформации. Так, в молекуле 1 атом O1'' ангидроцикла расположен в плоскости атомов основания, а атомы C1' и C1'' локализованы по разные стороны этой плоскости, причем атом C1' выведен в сторону атома O4' (табл. 3). Конформация ангидроцикла первой молекулы — твист (^{c1'}T_{C1''}). В молекуле 2 в плоскости атомов основания находятся атомы O1'' и C1'', атом же C1' отклонен в сторону

Отклонение атомов (\AA) и коэффициенты среднеквадратичных плоскостей вида $Ax + By + Cz = D$, проведенных через атомы, отмеченные звездочкой

Молекула 1				Молекула 2			
Атомы	Плоскость 1	Плоскость 2	Плоскость 3	Атомы	Плоскость 1	Плоскость 2	Плоскость 3
N6	0,000*			N6	-0,013*		
C6	-0,012*			C6	+0,006*		
N1	-0,001*			N1	-0,006*		
C2	0,003*			C2	+0,007*		
N3	0,002*			N3	-0,004*		
C4	-0,002*			C4	+0,006*		
C5	0,005*			C5	+0,012*		
N7	0,012*			N7	+0,009*		
C8	-0,003*	0,000*		C8	-0,003*	+0,013*	
N9	-0,007*	0,000*	0,881	N9	-0,014*	-0,008*	0,968
C1'	-0,197	-0,189	0,000*	C1'	-0,147	-0,151	0,000*
C1''	0,118	0,123		C1''	+0,006	+0,007*	
O1''	-0,002	0,000*		O1''	-0,025	-0,012*	
O4'	-1,556	-1,547	0,000*	O4'	-1,461	-1,470	0,000*
C2'			0,401	C2'			0,305
C3'			-0,213	C3'			-0,332
C4'			0,000*	C4'			0,000*
Коэф- фи- циен- ты				Коэффи- циенты			
A	-6,919	-6,920	-0,767	A	+6,885	+6,892	0,345
B	-1,014	-0,989	6,714	B	+1,512	+1,461	6,409
C	3,014	3,013	-12,634	C	-3,431	-3,318	6,816
D	0,408	0,435	0,799	D	3,210	3,262	13,385

атома O4' (табл. 3). Конформация ангидроцикла этой молекулы — конверт ($E^{C1'}$).

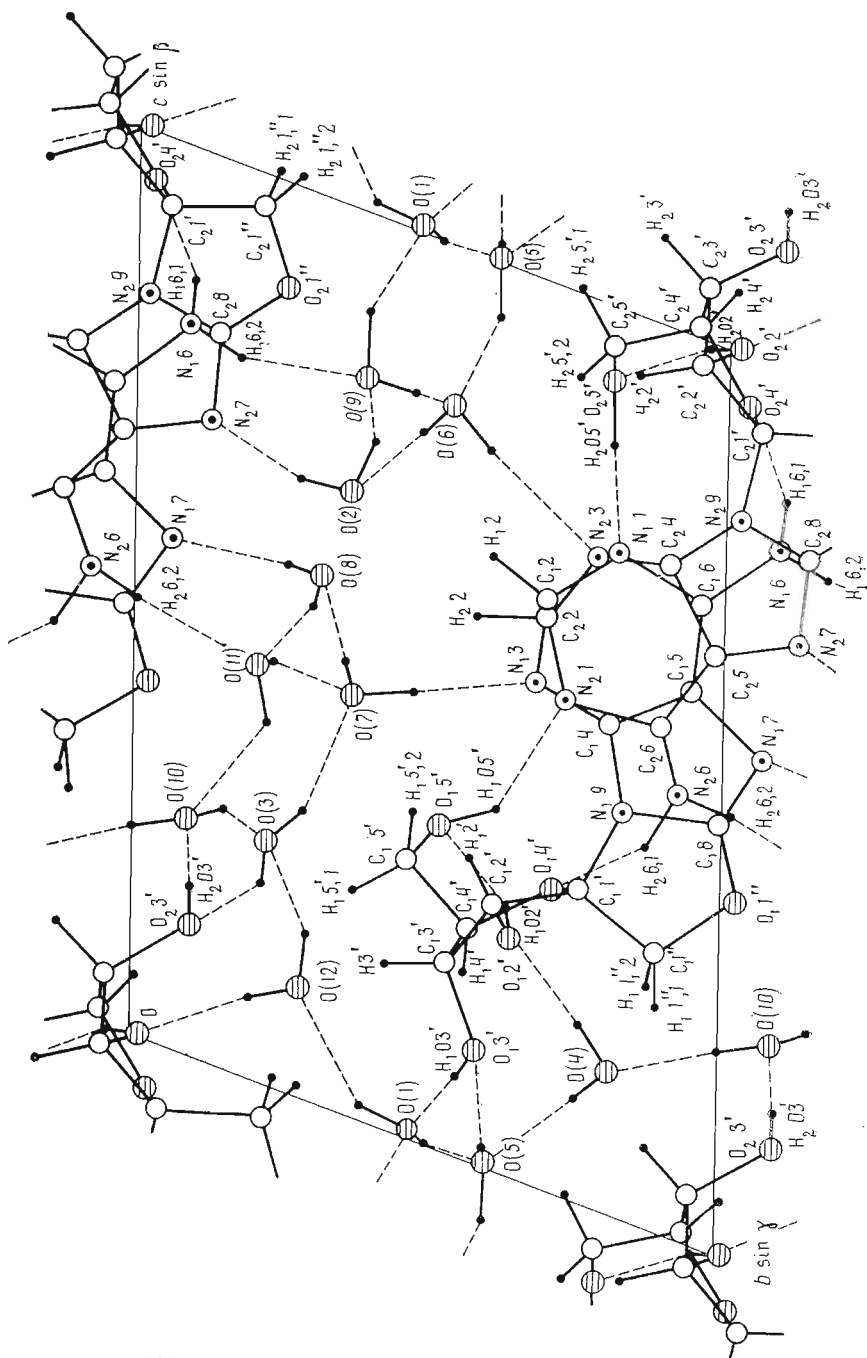
Конформация фуранозного фрагмента в молекуле 1 — слабый твист (2T_3). Атомы C2' и C3' отклонены от плоскости атомов C1', O4' и C4' на 0,401 и 0,213 \AA соответственно (табл. 3). Фазовый угол псевдovращения (P_1) равен 174,2°, максимальная амплитуда псевдovращения (ψ_{m1}) составляет 38,0°. Плоскости атомов фуранозного остатка и основания образуют между собой угол 88,2°.

Конформация фуранозного цикла в молекуле 2 — почти чистый твист (2T). Атомы C2' и C3' выведены из плоскости атомов C1', O4' и C4' на 0,305 и 0,332 \AA соответственно (табл. 3). Фазовый угол псевдovращения (P_2) равен 180,7°, максимальная амплитуда псевдovращения (ψ_{m2}) составляет 38,9°. Угол между плоскостями сахара и основания равен 86,4°.

Для обеих молекул 8,1'-O-aAdo^p характерна закрепленная *син*-конформация относительно N-гликозидной связи с торсионными углами χ_1 и χ_2 (C4-N9-C1'-O4'), равными 68,5 и 65,7° соответственно. Одинаковую *транс*-конформацию имеют эти молекулы и относительно экзоциклической связи C4'-C5'. Торсионные углы C3'-C4'-C5'-O5' и O4'-C4'-C5'-O5' в молекуле 1 составляют 175,0 и 58,0°, в молекуле 2 — 178,3 и 60,7°. Близкие значения торсионных углов вокруг N-гликозидной связи (угол C2-N1-C1'-O4' равен 65,0°) и вокруг экзоциклической связи C4'-C5' (угол C3'-C4'-C5'-O5' равен 180,0°, угол O4'-C4'-C5'-O5' равен 62,6°) обнаружены также в структуре 6,1'-O-aCyd^p [1, 2]. Это свидетельствует о жесткости строения названных фрагментов в молекулах *син*-ангидроуклеозидов пуринового и пиримидинового рядов.

Для сравнения конформационных параметров молекул 8,1'-O-aAdo^p и природного аденозина ниже приведем значения соответствующих параметров, вычисленные по координатам атомов в структуре аденозина [4]: конформация относительно N-гликозидной связи — *анти* (угол χ (C4-N9-C1'-O4') равен -171,4°), конформация рибозы — 3T_2 , отклонения атомов C3' и C2' от плоскости атомов C4', O4' и C1' равны 0,404 и 0,189 \AA ,

a.



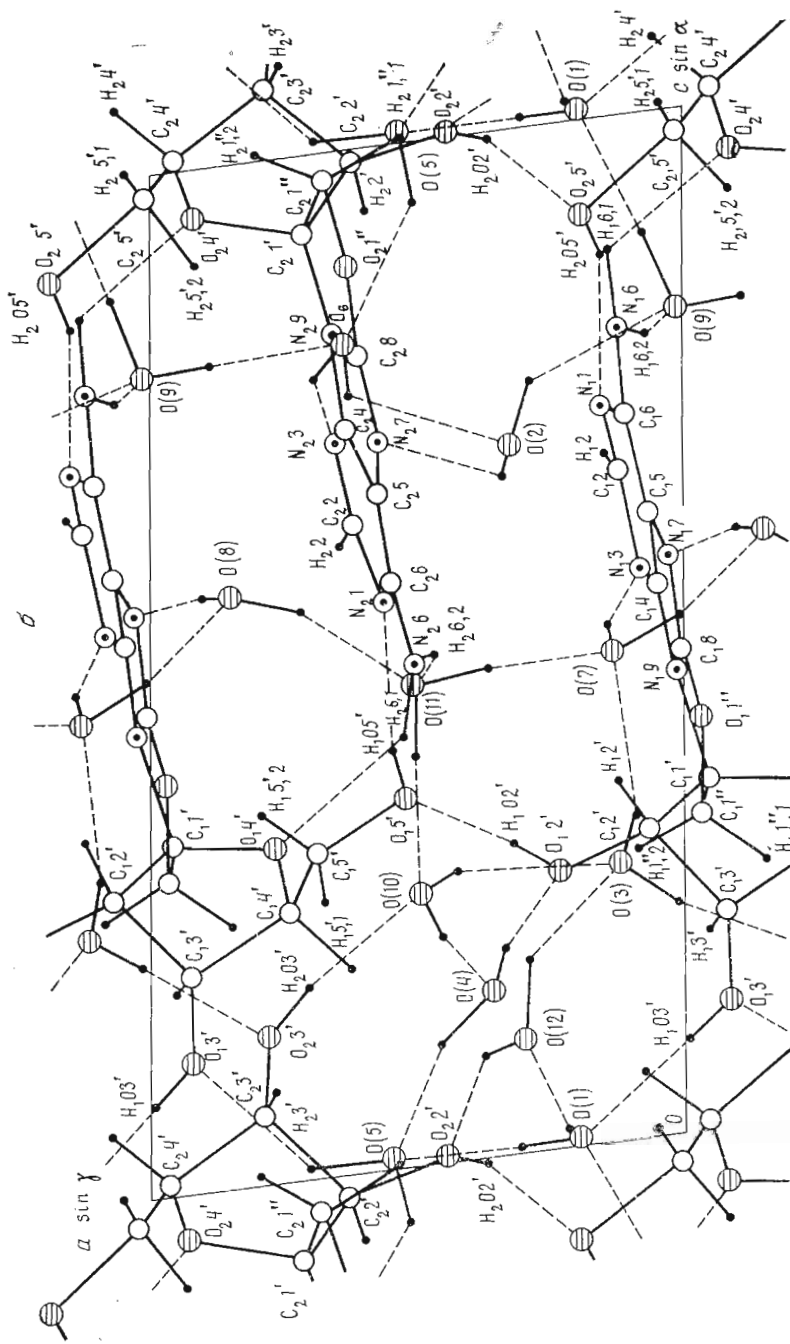


Рис. 2. Упаковка молекул 8.1'-O-AdoP и молекул H₂O в кристаллической структуре (вид вдоль осей *a* (а) и *b* (б)). Водородные связи изображены пунктирными линиями. Подстрочные индексы обозначают номера молекул.

Геометрические параметры водородных связей

Атом-донор (D(x, y, z))	Атом-акцептор (A), положение A	Расстояние, Å		Угол D—H...A, град
		D...A	H...A	
N ₁ 6	O ₂ 4' (x-1, y, z)	2,985	2,26	128,5
N ₂ 6	O ₁ 4' (x+1, y, z)	3,077	2,29	133,4
N ₁ 6	O*(9) (x, y+1, z)	2,969	2,11	158,4
N ₂ 6	O*(14) (x, y+1, z)	2,939	2,02	151,5
O ₂ 5'	N ₁ 1 (x+1, y, z)	2,752	1,76	167,0
O ₁ 5'	N ₂ 1 (x-1, y, z)	2,767	2,01	145,3
O ₁ 2'	O ₁ 5' (x+1, y, z)	2,632	1,74	153,4
O ₂ 2'	O ₂ 5' (x-1, y, z)	2,643	1,80	164,7
O ₁ 3'	O*(1) (x, y, z)	2,783	1,91	175,4
O ₂ 3'	O*(10) (x, y+1, z+1)	2,704	1,87	171,9
O*(7)	N ₁ 3 (x, y, z)	2,875	2,06	163,8
O*(6)	N ₂ 3 (x, y, z)	2,888	2,03	161,6
O*(8)	N ₁ 7 (x+1, y-1, z)	2,955	2,12	175,6
O*(2)	N ₂ 7 (x, y-1, z)	2,954	2,33	121,5
O*(4)	O ₁ 2' (x, y, z)	2,823	1,96	170,2
O*(12)	O ₂ 2' (x, y-1, z-1)	2,812	1,93	160,7
O*(5)	O ₁ 3' (x+1, y, z)	2,831	2,10	134,0
O*(3)	O ₂ 3' (x-1, y-1, z-1)	2,831	2,16	134,3
O*(1)	O*(12) (x, y, z)	2,740	2,07	144,7
O*(1)	O*(5) (x, y, z)	2,880	2,04	175,3
O*(9)	O*(1) (x, y, z+1)	2,812	1,85	160,9
O*(2)	O*(9) (x, y, z)	2,928	2,17	135,9
O*(6)	O*(2) (x, y, z)	2,809	2,20	128,0
O*(3)	O*(7) (x, y, z)	2,754	2,00	150,2
O*(10)	O*(3) (x, y, z)	2,967	2,21	154,7
O*(12)	O*(3) (x, y, z)	2,786	2,06	143,6
O*(4)	O*(5) (x, y, z)	2,801	1,92	156,9
O*(10)	O*(4) (x, y-1, z)	2,706	1,76	173,1
O*(5)	O*(6) (x, y, z-1)	2,829	2,13	129,3
O*(9)	O*(6) (x-1, y, z)	2,946	1,88	165,1
O*(7)	O*(8) (x-1, y, z)	2,877	1,94	169,9
O*(11)	O*(7) (x, y, z)	2,883	1,93	158,2
O*(8)	O*(11) (x, y, z)	2,779	1,90	157,4
O*(11)	O*(10) (x, y, z)	2,812	1,83	151,2

* Атомы кислорода молекул воды (в скобках приведен номер молекулы). Подстрочный индекс обозначает номер молекулы соединения.

$P=6,9^\circ$, конформация относительно экзоциклической связи C4'—C5'—*trans* (двугранные углы C3'—C4'—C5'—O5' и O4'—C4'—C5'—O5' соответственно равны $176,9$ и $60,1^\circ$). Итак, видно, что в молекулах 8,1'-O-aAdo^p сохраняется характерная для молекул аденозина конформация относительно экзоциклической связи C4'—C5', наблюдается переход конформации рибозного остатка от C3'-*эндо*-C2'-*экзо* к C2'-*эндо*-C3'-*экзо* и изменение взаимной ориентации сахарного остатка и основания от *анти* до *син*.

Довольно своеобразно осуществлена унаковка молекул 8,1'-O-aAdo^p в кристаллическую структуру. Как уже отмечалось, в отличие от 6,1'-O-aCyd^p молекулы 8,1'-O-aAdo^p проявляют высокую тенденцию к гидратации. В результате в кристалле на каждую молекулу 8,1'-O-aAdo^p приходится по шесть молекул воды, включенных в сложную систему водородных связей. В образовании водородных связей участвуют также все атомы азота (кроме атома N9) оснований и атомы кислорода оксигрунн углеводных остатков. Атомы O1'' ангидроциклов в водородные связи не включены (рис. 2а, б).

Другой интересной особенностью кристаллической структуры 8,1'-O-aAdo^p является присутствие в ней операции сверхсимметрии [12]. Две кристаллографически независимые молекулы 1 и 2 оказываются связанными нетривиальным преобразованием, так называемой осью $2q$. В общем случае операция сверхсимметрии $2q$ представляет собой поворот на 180° вокруг оси сверхсимметрии и сдвиг δ вдоль оси поворота. В настоя-

щей структуре сдвиг δ равен нулю. Ось $2q$ параллельна узловому ряду $[010]$ и пересекает координатную плоскость (010) в точке $x=0,373$, $y=0,00$, $z=0,641$. Молекулы 1 и 2 ангидронуклеозида преобразуются друг в друга операцией $2q$ с точностью $\Delta=0,09$ Å. Точность операции сверхсимметрии (Δ) обычно определяется как $(\sum_i \Delta_i^2/N)^{1/2}$ [13], где Δ_i —

половина расстояния между одноименными атомами молекулы 1 и молекулы 1' (или 2 и 2'), полученной из молекулы 2 (или 1) действием оси сверхсимметрии $2q$, а N — число атомов в молекуле. Максимальное значение Δ_i для двух молекул 8,1'-O-aAdo^p составляет 0,15 Å. Проверка действия операции сверхсимметрии на шесть пар молекул воды показала, что этой операции подчинены только четыре пары молекул: H₂O(1) — H₂O(10), H₂O(3) — H₂O(5), H₂O(6) — H₂O(7), H₂O(4) — H₂O(12) (см. табл. 1 и рис. 2а, б). Максимальное значение Δ_i для них составляет 0,29 Å, а Δ для структуры с учетом этих молекул воды возрастает незначительно (до 0,11 Å). Оставшиеся две пары молекул воды — H₂O(2) — H₂O(8) и H₂O(9) — H₂O(11) — операции сверхсимметрии не подчиняются, хотя по проекции структуры вдоль оси a (рис. 2а) они кажутся симметрически связанными. Для этих двух пар молекул воды максимальное значение Δ_i равно 1,43 Å, а Δ для всей структуры с их учетом составляет 0,34 Å. Причина столь высоких значений последних Δ видна из проекции структуры вдоль оси b (рис. 2б). Несмотря на то что указанные пары молекул воды образуют водородные связи с одноименными атомами молекул 1 и 2 ангидронуклеозида (табл. 4), топологически они различны. Так, молекулы H₂O(8) и H₂O(9) взаимодействуют с нуклеиновым основанием молекулы 1 со стороны, обращенной к фуранозному циклу, а молекулы H₂O(2) и H₂O(11) локализованы с противоположной стороны основания молекулы 2.

Геометрические параметры водородных связей приведены в табл. 4. Водородные связи типа N_{1,2}б—H...O_{2,14}' и O_{1,2}5'H...N_{2,1}1 связывают кристаллографически независимые молекулы 8,1'-O-aAdo^p в димеры (рис. 2а, б). Димеры в свою очередь объединяются в бесконечные стопки с помощью водородных связей O_{1,2}2'—H...O_{2,15}', действующих между молекулами одного типа, сдвинутых на трансляцию по оси a . Стопки дополнительно упрочнены стекинг-взаимодействиями адениновых оснований. Отдельные стопки молекул 8,1'-O-aAdo^p связываются между собой в трехмерный кристалл системой водородных связей через молекулы воды, т. е. стопки молекул ангидронуклеозида окружены со всех сторон растворителем и как бы плавают в нем.

Экспериментальная часть

8,1'-O-aAdo^p синтезировали аммонолизом 1',3',4',6'-тетра-О-ацетил-8-бромпирофурамина с одновременным замыканием ангидроцикла в соответствии с методикой [14, 15]. Необходимые для рентгеновской съемки кристаллы были выращены из насыщенного при 80°С водного раствора 8,1'-O-aAdo^p медленным охлаждением раствора до ~20°С.

Пространственная группа кристаллов $P4_1$, параметры элементарной ячейки: $a=6,941(2)$, $b=9,764(1)$, $c=14,341(4)$ Å, $\alpha=110,08(1)$, $\beta=97,92(3)$, $\gamma=87,02(2)^\circ$, $Z=2$ (8,1'-O-aAdo^p·6H₂O). В элементарной ячейке содержатся две кристаллографически независимые молекулы 8,1'-O-aAdo^p и 12 молекул H₂O. Интенсивности рефлексов и параметры элементарной ячейки измерены на автоматическом дифрактометре САД-4F на СиK α -излучении с графитовым монохроматором. Съемка проведена методом $\theta/2\theta$ -сканирования в области углов рассеяния 2 θ до 150°. Экспериментальные данные скорректированы на факторы Лорентца и поляризации. В исследовании использованы интенсивности 3589 независимых отражений с $I \geq 3\sigma(I)$.

Структура решена прямым методом по программе SHELXTL [16]. Координаты атомов Н определены и уточнены по серии разностных синтезов электронной плотности. Уточнение структуры проведено полноматричным методом наименьших квадратов в приближении анизотропного теплового движения неводородных атомов. Атомы Н вводились в расчеты методом наименьших квадратов с фиксированными координатами и индивидуальными изотропными температурными факторами. Значения последних принимались равными значениям этих факторов для неводородных атомов, с которыми атомы водорода ковалентно связаны. Расчеты разностных синтезов и уточнение структуры проведены по программе «Рентген-75» [17]. Окончательное значение фактора R равно 5,0%.

ЛИТЕРАТУРА

1. Гурская Г. В., Джавадова Г. М., Цапкина Е. Н., Завгородний С. Г., Флорентьев В. Л. // Биооргани. химия. 1987. Т. 13. № 10. С. 1382—1387.
2. Гурская Г. В., Джавадова Г. М., Цапкина Е. М., Цилевич Т. Л., Завгородний С. Г., Флорентьев В. Л. // Докл. АН СССР. 1983. Т. 273. № 2. С. 340—343.
3. Taylor R., Kennard O. // J. Mol. Struct. 1982. V. 78. № 1. P. 1—28.
4. Lai T. F., Marsh R. E. // Acta crystallogr. 1972. V. B28. № 7. P. 1982—1989.
5. Neidle S., Taylor G. L., Cowling P. C. // Acta crystallogr. 1979. V. B35. № 3. P. 708—712.
6. Suck D., Saenger W. // Acta Cryst. 1973. V. B29. № 6. P. 1323—1330.
7. Delbaere L. T. J., James M. N. G. // Acta crystallogr. 1973. V. B29. № 12. P. 2905—2912.
8. Birnbaum G. I., Giziewicz J., Huber C. P., Shugar D. // J. Amer. Chem. Soc. 1976. V. 98. № 15. P. 4640—4644.
9. Yamagata Y., Koshibe M., Tokuoaka R., Fujii S., Fujiwara T., Kanai T., Tomita K. // Acta crystallogr. 1979. V. B35. № 2. P. 382—389.
10. Yamagata Y., Fujii S., Kanai T., Ogawa K., Tomita K. // Acta crystallogr. 1979. V. B35. № 2. P. 378—382.
11. Sutton L. E. // Tables of interatomic distances and configuration in molecules and ions. Suppl. Spec. Publ. London, 1965. № 18.
12. Зоркий П. М. Проблемы кристаллохимии. М.: Наука, 1984.
13. Куккина Т. Н., Зоркий П. М. // Вестн. МГУ. Сер. 2. Химия. 1982. Т. 22. № 3. С. 248—252.
14. Zavgorodny S. G. // Tetrahedron Lett. 1981. V. 22. № 31. P. 3003—3006.
15. Завгородний С. Г. // Докл. АН СССР. 1981. Т. 257. № 1. С. 117—119.
16. Sheldrick G. M. SHELXTL—system for crystallographic calculations. Revision 3, July 1981. Nicolet XRD corp., USA.
17. Андрианов В. И., Сафина З. Ш., Тарнопольский Б. А. Рентген-75. Автоматизированная система программ для расшифровки структур кристаллов. Черноголовка, 1975.

Поступила в редакцию
21.I.1987

X-RAY INVESTIGATIONS OF ANHYDRONUCLEOSIDES. II. THE MOLECULAR AND CRYSTAL STRUCTURE OF 8,1'-ANHYDRO-8-HYDROXY-9-(2- β -D-PSICOFURANOSYL) ADENINE

GURSKAYA G. V., JAVADOVA G. M., SOBOLEV A. N.*,
CHERNIKOVA N. Yu.**, ZAVGORODNY S. G.***, FLORENTIEV V. L.,
GOTTIKH B. P.

Institute of Molecular Biology, Academy of Sciences of the USSR, Moscow:

*L. Ya. Karpov Physico-Chemical Institute; ** M. V. Lomonosov
Moscow State University; ***All-Union Scientific Research Institute
of Biotechnology, Moscow

The molecular and crystal structure of 8,1'-anhydro-8-hydroxy-9-(2- β -D-psicofuranosyl)adenine (8,1'-O-aAdoⁿ) possessing a characteristic fasten *syn*-conformation about N-glycosidic bond is presented. The space group is *P1*, with cell dimensions $a=6,941(2)$, $b=9,764(1)$, $c=14,341(4)$ Å, $\alpha=110,08(1)$, $\beta=97,92(3)$, $\gamma=87,02(2)^\circ$, $Z=2$ (8,1'-O-aAdoⁿ·6H₂O). The crystals are highly hydrated. A unit cell contains two independent molecules (1, 2) of anhydronucleoside and 12 molecules of water. The structure was solved by the direct method and refined by least-square calculations, with the final *R* index 5,0%. The two independent molecules have similar conformations, vis. *syn*-conformation about N-glycosidic bond and *trans*-conformation about exocyclic C(4')—C(5') bond. Conformation of the anhydrocycle in the molecule 1 is twist (${}^{C(1')T}_{C(1'')}$), and the puckering of the furanose ring is weak twist (2T_3). The conformation of anhydrocycle in the molecule 2 is envelope ($E^{C(1')}$), and the puckering of the furanose ring is almost pure twist (2_3T). A special property of the structure is the presence of the supersymmetry operation $2q$ which connects the molecules 1 and 2 and four pairs of water molecules. Two pairs of water molecules do not submit to this supersymmetry.